

“極小造波抵抗問題に関する覚書”

(才子報)

別所正利

昭和 37年 5月 20日

目次

1. 緒言
2. ミツヘル型及圧力型 縦線分布
3. その極値問題
4. 圧力型 横線分布
5. 円形圧力分布
6. 浸水体
7. Influence function
8. 結言

# 1. 緒言

前二報に於て船体中央縦断面上の二重吹出し分布 (以下 ミッチェル型分布 と呼ぶ) について考えを。

そして特に無限吃水の場合には数学的に簡単でまとまらずに紙論がえられる事を見て来たが、吃水が有限な場合や又別の型即ち圧力分布型の存在場合には極値問題はどのような事になるのか考えて見た。

最近丸尾教授は細長い吃水の浅い船の理論を發表し特にその極値問題の解を求めてゐる\*。

此の採る船を又ミッチェル型圧力型の極限として、此處では再び線分布と名づけたが、此の型の極値問題の解は前報で考えた船型は両端で丸味を持つてゐるのに対し、両端が尖つてゐる事が特徴であるが此の異なる二種類の型の解の間の関係は一つの大きな問題である。

そこで先づ2, 3節に於て此の型の分布の問題を少く考察し、又6節で浸水体の極限としてもう一度考察する。更に7節に於ては2つの型の分布の特徴を又別の面から少し考えて見る事にしよう。

次にともかくも極値問題の解の型を集める意味で圧力分布及び浸水体の問題を又取り上げて考察して見ることがかなり長期に亘つてまとめをこの途中論が前後する等讀み難い点を生じた事は残念とする所である。

# 2. ミッチェル型及び圧力型縦線分布

速度ポテンシャルはミッチェル型二重吹出し分布では

$$\varphi(P) = \frac{1}{2\pi} \int_{-1}^0 \int_{-1}^0 \eta(x', z') \frac{\partial}{\partial x'} S(P, Q) dx' dz' \quad (2.1)$$

圧力分布型では

$$\varphi(P) = \frac{1}{4\pi r} \iint_{S(z'=0)} p(x', y') \frac{\partial}{\partial x'} S(P, Q) dx' dy' \quad (2.2)$$

$$P \equiv (x, y, z), \quad Q \equiv (x', y', z'), \quad r = PQ$$

\*丸尾：水櫃毒委員会講演資料、昭和37年5月。

$$S(p, \omega) = \frac{1}{r(p, \omega)} - \lim_{\mu \rightarrow 0} \frac{1}{2\pi} \int_{-\pi}^{\pi} \int_0^{\infty} \frac{k \cos^2 \theta + \mu i \omega \cos \theta}{k \cos^2 \theta - g + \mu i \omega} e^{k(z+\bar{z}) - i k(\omega t - \omega' t')} dk d\theta, \quad (2.3)$$

比喩で近似的に  $\zeta$  は船の半中に等しく  $p$  は圧力であるとして近似的に船底の静水圧に等しく、其に  $x$ -方向の2重吹出しとして表わされているので、中吃水が其に小さくなると同様に同じ型になる。

此の様な場合

$$2 \int_{-t}^0 \zeta(x, z) dz = H(x), \quad \text{近似的に横切面積}$$

$$\int P(x, y) dy = P(x), \quad \text{横切面の浮力} \quad (2.4)$$

とあくと (2.1), (2.2) は

$$\phi(p) = \frac{1}{4\pi} \int_{-1}^1 H(x') \frac{\partial S}{\partial x'} dx' = \frac{1}{4\pi p g} \int_{-1}^1 P(x') \frac{\partial S}{\partial x'} dx', \quad (2.5)$$

となるから結局  $P(x) = p g H(x), \quad (2.6)$

となり、 $P(x)$  は線型理論的には正確に横切面の浮力分布に等しいから  $H(x)$  はその水頭と等しい。

この浮力分布では船型と  $\zeta(x, z)$  との関係をおぼろげながら大ざらであるが、圧力分布では比較的簡単であるので、此の様な関係を念頭に置いておくことが便利であろう。

さて進捗抵抗公式は(左右対称分布として)

$$R = \frac{p g^4}{\pi} \int_0^{\frac{\pi}{2}} |F(g \sec^2 \theta, \theta)|^2 \sec^5 \theta d\theta, \quad (2.7)$$

但し  $F(k, \theta) = 2 \int_{-t}^0 \int_{-1}^1 \zeta(x, z) e^{kz - ikx \cos \theta} dx dz, \quad (2.8)$

或いは  $F(k, 0) = \frac{1}{p g} \iint_S p(x, y) e^{-ik\bar{z}} dx dy, \quad (2.9)$

同じ近似法をとると (2.8), (2.9) 及 (2.6) の関係を考慮して全く同じ式になり。

$$\bar{H}(k, \theta) = \int_{-1}^1 H(x) e^{-ikx \cos \theta} dx, \quad (2.10)$$

従って (2.7) は

$$R = \frac{\rho g^2}{\pi} \int_{-1}^1 \int_{-1}^1 H(x) H(\xi) R_5(g\sqrt{x-\xi}, 0) dx d\xi, \quad (2.11)$$

但し 
$$R_5(x, 0) = \int_0^{\pi} \cos(x \sec \theta) \sec^5 \theta d\theta = -\frac{\pi}{2} \left(\frac{d}{dx}\right)^4 Y_0(x), \quad (2.12)$$

すなわち  $R_5(x, 0)$  は上式から判る様に  $x=0$  の近  $< 2^{-1} O(\frac{1}{2^4})$  の程度に大きくなるので  $H(x), H'(x)$  が端点で零に存在しなければ (2.11) は積分出来な。

元々此の様な近似が可能である意味には船体表面上の各点  $(x, y, z)$  が端点  $(0, 0, 0)$  に對して  $4\sqrt{y^2+z^2}/gx^2$  が充分小さい範囲に存在しなければならぬので此の様な制限は当然とせられぬ。

さて 
$$H(\pm 1) = H'(\pm 1) = 0, \quad (2.13)$$

とすると (2.11) は

$$R = \rho \int_{-1}^1 H''(x) G^{(2)}(x) dx, \quad (2.14)$$

$$G^{(2)}(x) = -\frac{1}{2} \int_{-1}^1 H''(\xi) Y_0(g\sqrt{x-\xi}) d\xi, \quad (2.15)$$

と書け、此の型は前報で考へたものと同一型であるから容易に積分出来るが (2.13) の条件から  $H(x)$  と  $H''(x)$  の関係は少々複雑である。

先ずフーリエ級数で展開するとすると (2.13) の条件を満足するには次の様なとせばよい事が容易に判る。

$$\left. \begin{aligned} H''(x) &= \frac{1}{\pi \theta} \sum_{n=2}^{\infty} a_n \cos n\theta, & x &= -\cos \theta, \\ H(x) &= \frac{1}{2} \sum_{n=2}^{\infty} \frac{a_n}{\pi} \left\{ \frac{\sin(n-1)\theta}{n-1} - \frac{\sin(n+1)\theta}{n+1} \right\}, \end{aligned} \right\} (2.16)$$

一方マニウ函数に展開すれば

$$\left. \begin{aligned} H(x) &= \frac{1}{\pi \theta} \sum_{n=0}^{\infty} C_n \cos n\theta, \\ H''(x) &= \frac{1}{\pi \theta} \sum_{n=0}^{\infty} d_n \cos n\theta, \end{aligned} \right\} (2.17)$$

(2.13) を満足するには 次の条件が必要である。

即ち

$$\sum_{n=0}^{\infty} d_{2n} A_0^{(2n)} = \sum_{n=0}^{\infty} d_{2n+1} A_1^{(2n+1)} = 0$$

或いは

$$\sum_{n=0}^{\infty} c_{2n} c_{2n}(0) = \sum_{n=0}^{\infty} p_{2n} c_{2n} c_{2n}(0) = 0$$

$$\sum_{n=0}^{\infty} c_{2n+1} c'_{2n+1}(0) = \sum_{n=0}^{\infty} p_{2n+1} c_{2n+1} c'_{2n+1}(0) = 0$$

(2.18)

但し  $p_n$  は固有値で  $c_n''(\theta) + (p_n - 2g \cos 2\theta) c_n(\theta) = 0$  .

前報の結果をこの式に利用すれば (2.14) は

$$\frac{R}{P} = \sum_{n=0}^{\infty} d_n \int_0^{\pi} c_n(\theta) G^{(2)}(-\cos \theta) d\theta = \frac{\pi}{2} \sum_{n=0}^{\infty} \mu_n d_n^2 \quad (2.19)$$

但し

$$\mu_{2n} = -\frac{\pi}{2} \left\{ \frac{A_0^{(2n)}}{c_{2n}(\frac{\pi}{2})} \right\} \frac{Fey_{2n}(0)}{c_{2n}(0)}, \quad \mu_{2n+1} = -\frac{\pi}{2} \left\{ \frac{R A_1^{(2n+1)}}{c'_{2n+1}(\frac{\pi}{2})} \right\} \frac{Fey_{2n+1}(0)}{c_{2n+1}(0)}$$

次に序でないので此の場合の表面変位を考えて見よう。  
 $y=0$  の線上では (2.5) により

$$\begin{aligned} -g\zeta(x,0) &= \frac{\partial \varphi}{\partial x} = -\frac{1}{4\pi} \int_{-1}^1 H(x') \frac{\partial^2}{\partial x'^2} S(x-x', 0, 0) dx' \\ &= -\frac{1}{4\pi} \int_{-1}^1 H''(x') S(x-x', 0, 0) dx' \\ &= -\frac{1}{2\pi} \int_{-1}^1 H''(x') \frac{dx'}{|x-x'|} - \frac{1}{4} \frac{\partial}{\partial x} \int_{-1}^1 H''(x') \{ H_0(g|x-x'|) - Y_0(g|x-x'|) \} dx' \end{aligned} \quad (2.20)$$

此の中、1項は明らかに  $|x| \leq 1$  で無限に大きくなって意味がなってしまう。これは元々此の近似法に基づくものであるからこの項を除外して考えなければならぬ。  
 さて上式をまとめる部に別けよう。

$$\zeta(x,0) = \zeta_1(x,0) + \zeta_2(x,0) + \zeta_3(x,0) \quad (2.21)$$

この内、先ず1項は (2.16) の展開を利用する方が便利で

$$\begin{aligned}
 g \zeta_1(-chu, 0) &= \frac{1}{2\pi} \int_0^\pi \frac{d\theta}{|chu - \cos\theta|} \sum_{n=2}^{\infty} a_n \cos n\theta \\
 &= \frac{1}{2\pi chu} \sum_{n=2}^{\infty} a_n e^{-n\theta} \quad \dots \dots \dots (2.22)
 \end{aligned}$$

但し  $x = -chu$  ,  $|x| > 1$   
 後の 2項は 2.3 マニウ 函数に 展 開 する 方が 便利で

$$\begin{aligned}
 4 \zeta_2(-chu, 0) &= \frac{\pi}{2} \int_0^{\frac{\pi}{2}} \int_{-1}^1 \cos(\sqrt{x-\frac{1}{2}} \cos v) \cos v H''(\frac{v}{2}) d\frac{v}{2} dv \\
 &= \sum_{2m=0}^{\infty} \frac{C_{2m}(u)}{\lambda_m} \sum_{n=0}^{\infty} \frac{d_n}{\lambda_n} \int_0^{\frac{\pi}{2}} C_{2m}(v) C_n(v) \cos v dv \quad (2.23)
 \end{aligned}$$

$$\text{但し } \lambda_{2n} = \frac{C_{2n}(\frac{\pi}{2})}{\pi A_0^{(2n)}} \quad , \quad \lambda_{2n+1} = -\frac{C_{2n+1}(\frac{\pi}{2})}{\pi R A_1^{(2n+1)}}$$

2.12

$$\begin{aligned}
 4g \zeta_3(-chu, 0) &= \frac{d}{shu du} \sum_{n=0}^{\infty} d_n \int_0^\pi Y_0(\sqrt{\cos\theta - \cos v}) C_n(v) dv \\
 &= \frac{1}{\pi} \sum_{n=0}^{\infty} \frac{d_n}{\lambda_n^2} \left\{ \frac{d}{shu du} \text{He}_n(u) \right\} \quad \dots \dots (2.24)
 \end{aligned}$$

2.11  $|x| < 1$  ならば  $u = -i\theta$  とおくと

$$4g \zeta_3(-\cos\theta, 0) = 2 \sum_{n=0}^{\infty} d_n \mu_n \left\{ \frac{d}{\sin\theta d\theta} C_n(\theta) \right\} \quad \dots \dots (2.24')$$

$$\text{但し } \mu_n = -\frac{1}{2\pi\lambda_n^2} \frac{\text{He}_n(0)}{C_n(0)}$$

(2.15) と (2.20) の 2' 上式から

$$2g \zeta_3(x, 0) = \frac{d}{dx} G^{(2)}(x) \quad \dots \dots \dots (2.25)$$

若し  $H''(x)$  が 前後対称 ならば  $\zeta_1$  と  $\zeta_2$  と 又 前後対称 と なる  
 ので  $\zeta_3(x, 0) - \zeta_3(-x, 0)$  を 求める 本は 実験的に 容易であるから  
 この式は 3 の 時に 便利である。(勿論  $H''(x)$  を 実験的に 求める  
 本は 出来なから 3 の意味では 何の役にも 立たないが)

## 3. 前節の場合の極値問題

さて (2.11) の極小値について考えるに当り、先ず

$$\frac{R}{P} = \int_{-1}^1 H(x) G(x) dx, \quad (3.1)$$

$$G(x) = \frac{d^2}{dx^2} G^{(2)}(x) = \left(\frac{d}{dx}\right)^4 G^{(4)}(x), \quad (3.2)$$

$$G^{(4)}(x) = -\frac{1}{2} \int_{-1}^1 H(\xi) Y_0(q\sqrt{x-\xi}) d\xi, \quad (3.3)$$

とかき (2.17) 式の展開を級数すれば (3.3) は前報と全く同様の積分方程式であるから

$$G^{(4)}(x) = \sum_{n=2}^{\infty} C_n / n C_{2n}(\theta), \quad (3.4)$$

となる。所で (3.2) から  $G^{(4)}(x)$  の  $x$  の 3 次式迄は  $G(x)$  に響いて来ない。

$$\text{即ち } G^{(4)}(x) = \alpha_0 + \alpha_1 x + \alpha_2 x^2 + \alpha_3 x^3, \quad (3.5)$$

に対応する解は  $G(x)$  には関係せず従って (3.1) から抵抗に関係しない。此の意味では其の様な解を Quasi-Waveless solution と呼ぶ事にしよう。

(3.5) の解は前報から明らかである様にその  $A, B, C$  及び  $D$  (3 次節 - メントが与えらるる場合) 問題の解であるから、今の場合前報で考えた様な先の  $A$  の解は任意常数係して加減しても抵抗は変わらない事になる。

然し乍ら此等の解は (2.13) の条件を満たさないのて抵抗積分が収斂しないから此の意味では興味がないが 6 節で示す様に没水体の極限の意味に解すれば確かに此の様な Quasi-Waveless solution がある事になる。

今は (3.1) の積分が存在する事のみを考える事にすると (2.13) は 4 つの条件を与え (3.5) は 4 つの任意常数を提供するから解は一義的に定まる事になる。

さて前報に言う  $A$  問題 即ち排水量を与えらるる問題を考えよう。此の場合前後対称のもののみを考えて

$$\nabla = \int_{-1}^1 H(x) dx = \pi \sum_{n=0}^{\infty} C_{2n} A_0^{(2n)}, \quad (3.6)$$

極値条件は前同様.

$$G(x) = \lambda ; \text{ 常数} \quad (3.7)$$

従って  $R/\rho g \nabla = \lambda/g \quad (3.8)$

(3.7) が成立する為には

$$G^{(4)}(x) = \alpha_0' + \frac{\alpha_2'}{2!} x^2 + \frac{\lambda}{4!} x^4 = \frac{\alpha_0}{2} + \alpha_2 \cos 2\theta + \alpha_4 \cos 4\theta,$$

$$\alpha_4 = \lambda/8 \cdot 4! = \lambda/192, \quad (3.9)$$

これはよい。  $\alpha_0, \alpha_2$  は任意常数である。

従って (3.4) から

$$C_{2n} = \frac{1}{\mu_{2n}} [\alpha_0 A_0^{(2n)} + \alpha_2 A_2^{(2n)} + \alpha_4 A_4^{(2n)}], \quad (3.10)$$

$C_{2n}$  は (2.18) 即ち端点の条件も満足しなければならぬ。  
 此れと (3.6) から常微分はすべて決まる。

即ち

$$\left. \begin{aligned} \alpha_0 C_{00} + \alpha_2 C_{02} + \alpha_4 C_{04} &= \frac{\nabla}{\pi} \\ \alpha_0 D_0 + \alpha_2 D_2 + \alpha_4 D_4 &= 0 \\ \alpha_0 E_0 + \alpha_2 E_2 + \alpha_4 E_4 &= 0 \end{aligned} \right\} \quad (3.11)$$

$$C_{2n, 2m} = \sum_{\nu=0}^{\infty} \frac{A_{2n}^{(\nu)} A_{2m}^{(\nu)}}{\mu_{2\nu}}, \quad D_{2n} = \sum_{\nu=0}^{\infty} \frac{A_{2n}^{(\nu)}}{\mu_{2\nu}} \rho_{2\nu}(0), \quad E_{2n} = \sum_{\nu=0}^{\infty} \frac{A_{2n}^{(\nu)}}{\mu_{2\nu}} \rho_{2\nu}(0),$$

よって  $\alpha_0 = \frac{\nabla}{\pi \Delta} \begin{vmatrix} D_2 & D_4 \\ E_2 & E_4 \end{vmatrix}, \quad \alpha_2 = \frac{\nabla}{\pi \Delta} \begin{vmatrix} D_4 & D_0 \\ E_4 & E_0 \end{vmatrix}, \quad \alpha_4 = \frac{\lambda}{192} = \frac{\nabla}{\pi \Delta} \begin{vmatrix} D_0 & D_2 \\ E_0 & E_2 \end{vmatrix}$

$$\Delta = \begin{vmatrix} C_{00} & C_{02} & C_{04} \\ D_0 & D_2 & D_4 \\ E_0 & E_2 & E_4 \end{vmatrix}, \quad (3.12)$$

(3.8) から  $\frac{R}{\rho g \nabla^2} = \frac{1}{192 \pi g \Delta} \begin{vmatrix} D_0 & D_2 \\ E_0 & E_2 \end{vmatrix}, \quad (3.13)$

此の方法では計算が厄介であるので (2.14), (2.15) を利用して見よう。

A) 別法 (2.17) 下式の展開を仮定し, (2.18) 上式の条件を考えれば, 条件式は



$$\int_1' H''(x) dx = [H'(x)]_1' = \pi \sum_{n=0}^{\infty} d_{2n} A_0^{(2n)} = 0$$

$$\nabla = \int_1' H(x) dx = \frac{1}{2} \int_1' H''(x) x^2 dx = \frac{\pi}{8} \left\{ 2 \sum_{n=0}^{\infty} d_{2n} A_0^{(2n)} + \sum_{n=0}^{\infty} d_{2n} A_2^{(2n)} \right\} = \frac{\pi}{8} \sum_{n=0}^{\infty} d_{2n} A_2^{(2n)} \quad (3.14)$$

極値条件は上の2条件を考慮して

$$G^{(2)}(-\cos\theta) = \sum_{n=0}^{\infty} \frac{1}{n!} d_{2n} C_{2n}(\theta) = \frac{\alpha_0}{2} + \alpha_2 \cos 2\theta, \quad (3.15)$$

$$d_{2n} = \frac{1}{n!} \left\{ \alpha_0 A_0^{(2n)} + \alpha_2 A_2^{(2n)} \right\} \quad (3.16)$$

$\alpha_0$  と  $\alpha_2$  は (3.14) から決まってくる。

即ち

$$\left. \begin{aligned} \alpha_0 C_{0,0} + \alpha_2 C_{0,2} &= 0 \\ \alpha_0 C_{0,2} + \alpha_2 C_{2,2} &= \frac{8}{\pi} \nabla \end{aligned} \right\} \quad (3.17)$$

$$\alpha_0 = \frac{8\nabla}{\pi} \frac{-C_{0,2}}{C_{0,0}C_{2,2} - (C_{0,2})^2}, \quad \alpha_2 = \frac{8\nabla}{\pi} \frac{C_{0,0}}{C_{0,0}C_{0,2} - C_{0,2}^2}$$

(2.14) から  $\frac{R}{\rho} = 4\nabla\alpha_2$

前報の記号を使えば

$$\frac{R}{\rho g \nabla \left( \frac{\nabla}{g} \right)} = \frac{16}{g^3} C_{w2}, \quad \left( \frac{\nabla}{g} \equiv \frac{\nabla}{L^3} \right) \quad (3.18)$$

が得られる。

一方  $\infty$  の断面積は

$$-\int_1' H''(x) x dx = H(0) = \sum_{n=0}^{\infty} d_{2n} \int_0^{\frac{\pi}{2}} C_{2n}(\theta) \cos\theta d\theta, \quad (3.19)$$

$$C_p = \nabla / 2 H(0)$$

$$\int_0^{\frac{\pi}{2}} C_{2n}(\theta) \cos\theta d\theta = \sum_{\nu=0}^{\infty} A_{2\nu}^{(2n)} \left\{ \frac{(-1)^{\nu+1}}{4\nu^2 - 1} \right\}$$

此の解と前の解(3.13)とは一見、かなり異なるし、又前述の様な訳で "Quasi-Waveless solution" だけ実なるといふが、知らぬまいか今の所よく判らぬ。

然し(3.18)等は前報によく調べてあるのだから、此處での必要もなからう。

B問題) 次に此の方法によつて前後の非対称性が、ある場合を考へて見よう。

条件式は

$$\left. \begin{aligned} \int_1' H''(x) dx &= \pi \sum_{n=0}^{\infty} d_{2n} A_0^{(2n)} = 0 \\ -\int_1' H''(x) x dx &= \frac{\pi}{2} \sum_{n=0}^{\infty} d_{2n+1} A_1^{(2n+1)} = 0 \\ \nabla &= \int_1' H(x) dx = \frac{1}{2} \int_1' H''(x) x^2 dx = \frac{\pi}{8} \sum_{n=0}^{\infty} d_{2n} A_2^{(2n)}, \\ m\nabla &= \frac{1}{2} \int_1' H(x) x dx = \frac{1}{12} \int_1' H''(x) x^3 dx = -\frac{\pi}{96} \sum_{n=0}^{\infty} d_{2n+1} A_3^{(2n+1)}, \end{aligned} \right\} (3.20)$$

従って  $d_{2n}$  は (3.16) で与えられる。反対称部分は (3.17) で

$$d_{2n+1} = \frac{1}{A_{2n+1}} \{ \alpha_1 A_1^{(2n+1)} + \alpha_3 A_3^{(2n+1)} \}, \quad \dots (3.21)$$

条件式から

$$\alpha_1 = \frac{96m\nabla C_{13}}{\pi \{ C_{11}C_{33} - C_{13}^2 \}}, \quad \alpha_2 = \frac{-96m\nabla C_{11}}{\pi \{ C_{11}C_{33} - C_{13}^2 \}}, \quad \dots (3.22)$$

となり振数は (3.18) の他に次の  $R'$  を加えなければならない。

$$\frac{R'}{A(m\nabla)^2} = \frac{(96)^2 C_{11}}{2\pi \{ C_{33}C_{11} - C_{13}^2 \}}, \quad \dots (3.23)$$

(問題) 前後対称で二次モーメントが与えられる場合は、条件式は (3.14) の上に更に

$$4\varepsilon^2 \nabla = \int_1' x^2 H(x) dx = \frac{\nabla}{6} + \frac{\pi}{192} \sum_{n=0}^{\infty} d_{2n} A_4^{(2n)}, \quad \dots (3.24)$$

特に (3.16) の解を代入した時の  $\varepsilon$  を  $\varepsilon_0$  とすると

$$\varepsilon_0^2 = \frac{1}{24} - \frac{(C_{02}C_{04} - C_{00}C_{24})}{96(C_{00}C_{22} - C_{02}^2)}, \quad \dots (3.25)$$

$$\text{今 } \gamma = 968(\varepsilon^2 - \varepsilon_0^2), \quad \dots (3.26)$$

よって極値問題を  $\varepsilon$  と  $\gamma$  (3.17) の  $\alpha_0, \alpha_2$  を使って

$$d_{2n} = \frac{1}{A_{2n}} \{ (\alpha_0 + \beta_0) A_0^{(2n)} + (\alpha_2 + \beta_2) A_2^{(2n)} + \beta_4 A_4^{(2n)} \}, \quad \dots (3.27)$$

$$\left. \begin{aligned} \beta_0 &= \frac{\nabla \gamma}{\pi \Delta} \begin{vmatrix} C_{22} & C_{24} \\ C_{02} & C_{04} \end{vmatrix}, \quad \beta_2 = \frac{\nabla \gamma}{\pi \Delta} \begin{vmatrix} C_{24} & C_{02} \\ C_{04} & C_{00} \end{vmatrix}, \quad \beta_4 = \frac{\nabla \gamma}{\pi \Delta} \begin{vmatrix} C_{02} & C_{22} \\ C_{00} & C_{02} \end{vmatrix}, \\ \Delta &= \begin{vmatrix} C_{00} & C_{02} & C_{04} \\ C_{02} & C_{22} & C_{24} \\ C_{04} & C_{24} & C_{44} \end{vmatrix}, \end{aligned} \right\} (3.28)$$



最後に少し数値を掲げておこう。

$$C_w = \frac{32}{g^2} t^2 C_{w2}$$

$\bar{Fr}$	$g$	$\frac{16}{g^3} C_{w2}$	$C_p$	$d/L =$	.03	.04	.05
.7071	1	44.60	-	.3214	.5714	.8928	
.5000	2	25.46	.6031	.3666	.6518	1.0184	
.3976	$\sqrt{10}$	11.94	.6078	.2719	.4833	.7552	
.3536	4	5.090	.5813	.1466	.2606	.4072	
.3195	$\sqrt{24}$	1.636	-	.0577	.1026	.1602	
.2887	6	.3349	.4931	.01447	.02572	.04019	
.2659	$\sqrt{50}$	.06522	-	.003320	.005902	.009222	
.2500	8	.01475	.4305	.0008494	.001510	.002360	
.2364	$\sqrt{80}$	.003126	.4085	.0002013	.0003599	.0005592	
.2236	10	.000528	.3869	.0000380	.0000676	.0001056	

但し左記は A 問題の解  
であつて。

$$C_w = \frac{R_w}{\frac{\rho}{2} V^2 \left(\frac{B}{2}\right)^2}$$

$\bar{B}$  は平均巾とし。

$$\bar{B} = \frac{\nabla}{L \cdot d}$$

$d$  は吃水とする。

此れを前報の値と比較すると、前報 5 節の (5.9) を  
利用すれば A 問題の解として  $g$  が充分大きくと前報の記号で

$$C_w = \frac{R_w}{\frac{\rho}{2} V^2 \left(\frac{B}{2}\right)^2} \approx C_{w0} L_0 (gt)$$

となる。

此れは  $g$  の大さ、吃水の小ささ、すなわち... と具合が悪い  
ので下表  $g \geq 3 \sim 5$  から成立つと考へられる。

$\bar{Fr}$	$g$	$d/L =$	$C_w$	.03	.04	.05
.7071	1	1.101	1.278	1.441		
.5000	2	1.066	1.247	1.415		
.3976	$\sqrt{10}$	.353	.398	.461		
.3536	4	.120	.141	.158		
.3195	$\sqrt{24}$	.0333	.0388	.0442		
.2887	6	.00619	.00719	.00811		
.2659	$\sqrt{50}$	.00109	.00129	.00143		
.2500	8	.000234	.000274	.000305		
.2364	$\sqrt{80}$	.0000471	.0000547	.0000603		
.2236	10	.00000757	.00000872	.00000963		

此れを上表と比較して見れば  
特に併せて於て此の分布を  
Quasi-Waveless Solution と呼ぶ  
事が当を得たものである事が  
よく判るであらう。

### 4. 圧力型横線分布

圧力分布型の問題を考え、特に生成波の波長に比して進行方向の長さ \$L\$ が充分短いとすると又問題は簡単になる。

さて (2.9) から 其の場合

$$\int p(x, y) e^{-ikx \cos \theta} dx = \rho g H(y), \quad (4.1)$$

とあって 
$$F(k, \theta) = \int_1' H(y) e^{-iky \sin \theta} dy, \quad (4.2)$$

の様に与えるものとしよう。尚此の節では左右対称な場合のみ考える事にする。

さて 
$$R = \rho \int_1' H(y) G(y) dy, \quad (4.3)$$

$$G(y) = \frac{g^4}{\pi} \int_1' H(\eta) R_5(0, g\sqrt{y-\eta}) d\eta, \quad (4.4)$$

と与えるから 
$$R_5(0, g\sqrt{y}) = \int_0^{\frac{\pi}{2}} \cos(gy \sec^2 \theta \sin^2 \theta) \sec^5 \theta d\theta = \int_0^{\infty} \cos\left(\frac{g^2 y}{2} \operatorname{sh}^2 u\right) \operatorname{ch}^2 u du$$
  
$$= \frac{1}{2} \int_0^{\infty} \cos\left(\frac{g^2 y}{2} \operatorname{sh}^2 u\right) \left\{ \frac{3}{8} + \frac{1}{2} \operatorname{ch} u + \frac{1}{8} \operatorname{ch}^2 u \right\} du$$
  
$$= \frac{3}{16} K_0\left(\frac{g^2 y}{2}\right) - \frac{1}{16} K_2\left(\frac{g^2 y}{2}\right) = \frac{1}{4} K_0\left(\frac{g^2 y}{2}\right) - \frac{1}{2g^2} \frac{d^2}{dy^2} K_0\left(\frac{g^2 y}{2}\right), \quad (4.5)$$

よって (4.4) は又部分積分すれば

$$G(y) = \frac{g^4}{4} \left(1 - \frac{2}{g^2} \frac{d^2}{dy^2}\right) F(y), \quad (4.6)$$

$$F(y) = \frac{1}{\pi} \int_1' H(\eta) K_0\left(\frac{g}{2} |y-\eta|\right) d\eta, \quad (4.7)$$

但し 
$$H(\pm 1) = 0, \quad (4.8)$$

$$\int_1' H(y) dy = \nabla, \quad (4.9)$$

の下に於ける 値条件は明らかに、

$$G(y) = C, \text{ 常数}, \quad (4.10)$$

\* 丸尾直: 造船協会論文集 81号 (昭和24年7月)

となるが (4.6) を微分方程式と見れば、此の条件は  $F(y)$  には

$$F(y) = \frac{g}{g'} C + \alpha \operatorname{ch}\left(\frac{g}{\sqrt{2}} y\right), \quad \alpha \text{ 常数} \quad (4.11)$$

となり、 $\alpha, C$  は (4.8), (4.9) から決められる。

さて  $y = -\cos\theta, \quad y = -\cos\psi$  とおいて、次の積分を考へよう。

$$\begin{aligned} I_{2n} &= \frac{1}{\pi} \int_0^\pi \operatorname{ce}_{2n}(\theta, -g) K_0\left(\frac{g}{2}(\cos\theta + \cos\psi)\right) d\theta \\ &= \frac{1}{\pi} \int_0^\pi \cos\left(\frac{g}{2}\cos\theta \operatorname{sh}u\right) du \int_0^\pi \cos\left(\frac{g}{2}\cos\psi \operatorname{sh}u\right) \operatorname{ce}_{2n}(\theta, -g) d\psi, \quad (4.12) \end{aligned}$$

$$\text{比較して} \quad g = k^2 = \left(\frac{g}{4}\right)^2 \left(= \frac{g}{4}\right),$$

逐別積分してよす

$$\frac{1}{\pi} \int_0^\pi \cos\left(\frac{g}{2}\cos\psi \operatorname{sh}u\right) \operatorname{ce}_{2n}(\theta, -g) = (-)^n \frac{A_0^{(2n)}}{\operatorname{ce}_{2n}(0, g)} \operatorname{Ce}_{2n}(u, g),$$

$$\int_0^\pi \cos\left(\frac{g}{2}\cos\theta \operatorname{sh}u\right) \operatorname{Ce}_{2n}(u, g) du = (-)^n \frac{\pi A_0^{(2n)}}{\operatorname{ce}_{2n}(0, g)} \overline{\operatorname{Fek}}_{2n}(-i\theta, -g),$$

が証明出来るので

$$I_{2n} = \pi \left\{ \frac{A_0^{(2n)}}{\operatorname{ce}_{2n}(0, g)} \right\}^2 \overline{\operatorname{Fek}}_{2n}(-i\theta, -g) = \lambda_{2n} \operatorname{ce}_{2n}(\theta, -g), \quad (4.13)$$

$$\lambda_{2n} = \pi \left\{ \frac{A_0^{(2n)}}{\operatorname{ce}_{2n}(0, g)} \right\}^2 \frac{\overline{\operatorname{Fek}}_{2n}(0, -g)}{\operatorname{ce}_{2n}\left(\frac{\pi}{2}, -g\right)}, \quad (4.14)$$

となる。今

$$F(y) = \frac{1}{\lambda_{2n}} \sum_{n=0}^{\infty} a_{2n} \operatorname{ce}_{2n}(\theta, -g), \quad (4.15)$$

と展開すれば

$$F(-\cos\theta) = \sum_{n=0}^{\infty} a_{2n} \lambda_{2n} \operatorname{ce}_{2n}(\theta, -g), \quad (4.16)$$

従って

$$1 = 2 \sum_{n=0}^{\infty} (-)^n A_0^{(2n)} \operatorname{ce}_{2n}(\theta, -g), \quad (4.17)$$

$$\operatorname{ch}\left(\frac{g}{\sqrt{2}} \cos\theta\right) = \sum_{n=0}^{\infty} (-)^n b_{2n} \operatorname{ce}_{2n}(\theta, -g),$$

の様に展開出来るから、(4.16) と (4.11) から

$$a_{2n} = \frac{(-)^n}{\lambda_{2n}} \left\{ \frac{16}{g} C A_0^{(2n)} + \alpha b_{2n} \right\}, \quad (4.18)$$

となる。

常数は、(4.8)と(4.9)から

$$\begin{aligned} \frac{\nabla}{\pi} &= \sum_{n=0}^{\infty} (-1)^n a_{2n} A_0^{(2n)} = \frac{16}{g^4} C \sum_{n=0}^{\infty} \frac{A_0^{(2n)2}}{\lambda_{2n}} + \alpha \sum_{n=0}^{\infty} \frac{b_{2n} A_0^{(2n)}}{\lambda_{2n}}, \\ 0 &= \frac{16C}{g^4} \sum_{n=0}^{\infty} \frac{(-1)^n A_0^{(2n)} \operatorname{erfc}_{2n}(\frac{\pi}{2}, -g)}{\lambda_{2n}} + \alpha \sum_{n=0}^{\infty} \frac{(-1)^n b_{2n} \operatorname{erfc}_{2n}(\frac{\pi}{2}, -g)}{\lambda_{2n}}, \end{aligned} \quad (4.19)$$

から決まり、この時

$$R = P C \nabla, \quad (4.20)$$

と存る。

この様に綺麗な形をうるけれども今の場合の問題に存るのは  $g \rightarrow 0$  の場合であらうなまり実用的な形ではない。

$$g \rightarrow 0 \text{ とすると } K_0(\frac{g}{2} y) \doteq -\log \left| \frac{g y}{4} \right|,$$

$$\text{又 (4.11) は } H(y) = \frac{g}{g^4} C + \alpha \left( 1 + \frac{g^2}{4} y^2 \right), \quad (4.21)$$

と存るから今 (4.8), (4.9) を満足する解として

$$H(y) = \frac{2}{\pi} \nabla \operatorname{Arctn} \theta, \quad (4.22)$$

$$\text{とすれば } H(y) = \frac{\nabla}{\pi} \left[ \log 2 - \frac{1}{2} - y^2 \right], \quad (4.23)$$

$$\begin{aligned} \text{と存るから (4.21) から } \alpha &= -\frac{\nabla}{\pi} \cdot \frac{4}{g^2}, \\ C &= \frac{g^2 \nabla}{2\pi} \left[ 1 + \frac{g^2}{4} \left( \log 2 - \frac{1}{2} \right) \right], \end{aligned} \quad (4.24)$$

$$\text{よって (4.20) より } \frac{R}{P g \nabla \left( \frac{\nabla}{g} \right)} = \frac{4g}{\pi} \left[ 1 + \frac{g^2}{4} \left( \log 2 - \frac{1}{2} \right) \right], \quad (4.25)$$

と存る。

(4.22) の型の解は 前掲丸尾教授によって与えられたものである。

(4.25) は  $g \rightarrow 0$  で零に存る点で (3.35) と甚だしく置っている。即ち高速では此の型は縦長の物体に比して甚だしく折角が小さい車に存る本はよく知られた事実でもある。

### 5. 円形圧力分布

前節迄の問題は線上の特異点分布を取扱ったから、此節では面分布の最も簡単な場合として圧力が円形領域上に点対称に分布している場合を考へよう。

取扱は

$$R = \frac{f g^4}{\pi} \int_0^{\frac{\pi}{2}} |F(g a \cos \theta, \theta)|^2 \sec^5 \theta d\theta, \quad (5.1)$$

$$F(g a \cos \theta, \theta) = \frac{1}{f g} \iint P(x, y) e^{-i k \omega} dx dy = 2\pi \int_0^1 H(r) J_0(kr) r dr, \quad (5.2)$$

但し  $P = f g H$ , 即ち  $H$  は圧力水頭とす。

よって 
$$\frac{R}{f} = 2\pi \int_0^1 H(r) r dr G(r), \quad (5.3)$$

但し 
$$G(r) = 2 g^2 \int_0^1 H(\rho) K^{(2)}(r, \rho) \rho d\rho, \quad (5.4)$$

$$K^{(2)}(r, \rho) = g^2 \int_0^{\frac{\pi}{2}} J_0(g r \cos \theta) J_0(g \rho \cos \theta) \sec^5 \theta d\theta, \quad (5.5)$$

此れは 2 変数の  $K(r, \rho)$  から微分により導かれる。  
即ち

$$K^{(2)}(r, \rho) = \left(\frac{1}{r} \frac{d}{dr} r\right) \left(\frac{1}{\rho} \frac{d}{d\rho} \rho\right) K(r, \rho), \quad (5.6)$$

$$\begin{aligned} K(r, \rho) &= \int_0^{\frac{\pi}{2}} J_1(g r \cos \theta) J_1(g \rho \cos \theta) \sec^3 \theta d\theta \\ &= \int_0^{\infty} J_1(g r \operatorname{ch}^{-1} u) J_1(g \rho \operatorname{ch}^{-1} u) du, \end{aligned} \quad (5.7)$$

さて

$$J_1(kr) J_1(k\rho) = \frac{1}{\pi} \int_0^{\pi} J_0(kR) \cos \varphi d\varphi = \frac{1}{\pi^2} \int_0^{\pi} \int_0^{\pi} e^{i k R \cos \varphi} \cos \varphi d\varphi du$$

$$\begin{aligned} R^2 &= r^2 + \rho^2 - 2r\rho \cos \varphi \\ \int_0^{\infty} e^{i z \operatorname{ch}^{-1} u} du &= e^{\frac{i z}{2}} \int_0^{\infty} e^{\frac{i z}{2} \operatorname{ch}^{-1} u} du = \frac{\pi i}{4} e^{\frac{i z}{2}} H_0^{(1)}\left(\frac{z}{2}\right), \end{aligned}$$

故に (5.7) は

$$K(r, \rho) = \frac{1}{4\pi} \int_0^{\pi} \int_0^{\pi} e^{\frac{i g R \cos \varphi}{2}} H_0^{(1)}\left(\frac{g R \cos \varphi}{2}\right) \cos \varphi d\varphi du, \quad (5.8)$$

の様な積分表示が出来る。

さて



極値条件は A 問題 では 明らかに

$$G(r) = C \quad ; \quad \text{定数} \quad (5.9)$$

で 此の時

$$R = \rho \nabla C \quad (5.10)$$

で

$$\nabla = 2\pi \int_0^1 H(r) r dr \quad (5.11)$$

先ず  $g \rightarrow 0$  の極限を考へて見よう。

(5.8) に おいて

$$\frac{1}{4\pi} e^{\frac{i g R \cos u}{2}} H_0\left(\frac{g R \cos u}{2}\right) \xrightarrow{g \rightarrow 0} -\frac{1}{4\pi} Y_0\left(\frac{g R \cos u}{2}\right) \rightarrow \frac{1}{2\pi} \log\left(\frac{g R \cos u}{2}\right)$$

より

$$K(r, \rho) = -\frac{1}{2\pi^2} \int_0^\pi \int_0^\pi \log\left|\frac{g R \cos u}{2}\right| \cos u \sin u \, du = -\frac{1}{2\pi} \int_0^\pi \log|R| \cos^2 u \, du$$

即ち

$$\begin{aligned} \log R &= \frac{1}{2} \log(r^2 + \rho^2 - 2r\rho \cos \varphi) \\ &= \log r - \sum_{n=1}^{\infty} \frac{\left(\frac{\rho}{r}\right)^n \cos n\varphi}{n} \quad \text{for } r > \rho \\ &= \log \rho - \sum_{n=1}^{\infty} \left(\frac{r}{\rho}\right)^n \frac{\cos n\varphi}{n} \quad \text{for } \rho > r \end{aligned}$$

よって

$$K(r, \rho) = \begin{cases} \frac{1}{4} \left(\frac{\rho}{r}\right) & \text{for } r > \rho \\ \frac{1}{4} \left(\frac{r}{\rho}\right) & \text{for } r < \rho \end{cases} \quad (5.12)$$

これを (5.6), (5.4) に代入し, (5.9) の極値条件を代入すると

$$C = \frac{2g^2}{r} \frac{d}{dr} r \int_0^1 H(\rho) \left\{ \frac{d}{d\rho} \rho K(r, \rho) \right\} d\rho \quad (5.13)$$

と得る。

$$\begin{aligned} \frac{C}{2g^2} r^2 &= \int_0^1 H(\rho) \left\{ \frac{d}{d\rho} \rho K(r, \rho) \right\} d\rho \\ &= \frac{2}{4} \int_0^r H(\rho) \frac{\rho d\rho}{r} + \frac{1}{4} \int_r^1 H(\rho) d\rho \frac{d}{d\rho}(r), \end{aligned}$$

即ち

$$\frac{C}{2g^2} r^2 = \int_0^r H(\rho) \rho d\rho \quad (5.14)$$

を得る。

此の積分方程式は両辺を微分して見れば明らか

$$H(r) = \frac{C}{g^2} \quad (5.15)$$

なる解を持つが(5.11)の条件から定数Cは決まらぬ

$$C = \frac{q^2}{\pi} \nabla \quad (5.16)$$

よって(5.10)より

$$\frac{R}{\rho g \sqrt{\frac{r}{g}}} = \frac{4}{\pi} q \quad (5.17)$$

を得る。

此の抵抗値は前節の極限值と一致するので円形分布も又高速に遠くにある車が判る。

いづれにしても此の場合極値問題が存在する事は確かであろう。

一般の場合にはH(r)を次の様に展開するのが便利であろう。

$$H(r) = \sum_{n=0}^{\infty} a_n P_n(\cos \theta) \quad (5.18)$$

$$r = a \sin \frac{\theta}{2}$$

さうすれば(5.2)から

$$\bar{H}(k, \theta) = \frac{2\pi}{k} \sum_{n=0}^{\infty} a_n J_{2n+1}(kr) \quad (5.19)$$

排水量は

$$\nabla = 2\pi \int_0^1 H(r) r dr = \frac{\pi}{2} \int_0^{\pi} H(a \sin \frac{\theta}{2}) a \sin \theta d\theta = \frac{\pi}{2} a_0 \quad (5.20)$$

抵抗は

$$\frac{R}{\rho} = \sum_{n,m=0}^{\infty} (-1)^{n+m} a_n a_m R_{n,m} \quad (5.21)$$

$$\begin{aligned} R_{n,m} &= \frac{(-1)^{n+m}}{\pi} g^2 \int_0^{\frac{\pi}{2}} J_{2n+1}(g a \sin^2 \theta) J_{2m+1}(g a \sin^2 \theta) a \cos \theta d\theta \\ &= \frac{(-1)^{n+m}}{\pi} g^2 \int_0^{\infty} J_{2n+1}(g a \sqrt{u}) J_{2m+1}(g a \sqrt{u}) du \quad (5.22) \end{aligned}$$

の様に書ける。

$g$  が小さい場合については既に考えたから、今度は  $g$  が大きい場合を少し考えて見よう。

$g$  が充分大ならば

$$J_{2n+1}(z) = (-1)^{n+1} \sqrt{\frac{z}{\pi z}} \left\{ \cos\left(z + \frac{\pi}{4}\right) - \frac{\left(\frac{2n+1}{2z} - \frac{1}{4}\right)}{2z} \sin\left(z + \frac{\pi}{4}\right) \right\}$$

式 (5.22) は

$$R_{n,m} \approx \frac{g}{\pi^2} \int_0^{\frac{\pi}{2}} \left[ 1 - \sin(2g \sec \theta) - \frac{C_{n,m}}{2g} \cos^2 \theta \cos(2g \sec \theta) \right] \cos \theta d\theta$$

$$\text{但し } C_{n,m} = 2n+1 + \frac{2n+1}{2} - \frac{1}{2}$$

$$\int_0^{\frac{\pi}{2}} \sin(2g \sec \theta) \cos \theta d\theta \approx \frac{\sqrt{2\pi}}{4\sqrt{g}} \sin\left(2g + \frac{\pi}{4}\right)$$

を利用すれば

$$R_{n,m} \approx \frac{g}{\pi^2} \left[ 1 - \frac{\sqrt{\pi}}{2\sqrt{2g}} \sin\left(2g + \frac{\pi}{4}\right) - \frac{C_{n,m}\sqrt{\pi}}{4\sqrt{2g^3}} \cos\left(2g + \frac{\pi}{4}\right) \right] \quad (5.23)$$

今度は  $a_0, a_1$  のみと  $\tau = O(\sqrt{g})$  を省略すれば

$$\frac{R}{P} \approx (a_0 - a_1)^2 \frac{g}{\pi} \left\{ 1 - \frac{\sqrt{\pi}}{2\sqrt{2g}} \sin\left(2g + \frac{\pi}{4}\right) \right\} \quad (5.24)$$

となるから  $a_0 = a_1$  とおけば  $R/P$  は少くとも  $O(\sqrt{g})$  と存する。

此の考察を進めれば前報 7 節と全く同様な過程で周辺で圧力が零になる存在分布を得る事になる。

### 6. 没水体

もう一度線上分布にかえて、今度は水面下  $f$  の  $0 < x < 1$  の間に  $x$  方向の 2 重噴出しが分布しているものと考えよう。

抵抗は 
$$R = P \int_0^1 H(x) G(x) dx, \quad (6.1)$$

$$G(x) = \frac{g^2}{\pi} \int_{-1}^1 H(\xi) P_{1/2}(g\sqrt{x-\xi}, 2gf) d\xi, \quad (6.2)$$

と与えられる。

極値問題は  $G(x)$  を  $x$  の  $\pm 1$  の間で倒えば常数に保つ本である。所が  $P_1(\sqrt{x-3}, 2x)$  は今は  $f \neq 0$  ので  $\sqrt{x-3}$  に割して正則であるから、 $G(x)$  が此の向で常数であるならば  $x \rightarrow \pm\infty$  に於ても常数でなければならぬ。

然し  $P_1(x, t)$  は  $x \rightarrow \infty$  に零となるから  $G(x) = 0$  即ち此の常数は零に等しい。

そうすれば  $H(x) = 0$  以外の解はありえないから、結局極値問題の解は恒等的に零である種な無意味な解以外にありえない。

然し (6.2) を与えられた  $G(x)$  に関する積分方程式と見たならばその解  $H(x)$  は一義的に決まる。

従って数値的には極値問題の解は殆ど常に存在すると考えられる\*。

此の解法をもう少し合理化するには (6.2) と (3.2) との親近性に留意して

$$G(x) = \left(\frac{d}{2x}\right)^4 G^{(4)}(x), \quad (6.3)$$

$$G^{(4)}(x) = \frac{1}{\pi} \int_{-1}^1 H(\xi) P_1(\sqrt{x-\xi}, 2x) d\xi, \quad (6.4)$$

とおこう。

(6.4) を (6.2) と全く同様な性質をもつてみるけれども少くとも数値的には与えられた  $G^{(4)}(x)$  に対して唯一つの解  $H(x)$  を得る。

所で (6.3) の関係から  $a_0, \dots, a_4$  を任意常数として

$$G^{(4)}(x) = a_0 + a_1 x + a_2 x^2 + a_3 x^3, \quad (6.5)$$

$$\text{とおけば} \quad G(x) = 0, \quad (6.6)$$

と存するから (6.1) から抵抗は零と存する本になる。

勿論上述の様に  $G^{(4)}(x)$  を (6.5) の様にする種な  $H(x)$  は恒等的に零に在るので理論的には興味がなけれども、数値解析的には (6.4) を (6.5) によって解けば任意常数を4つ含む解が得られてその解は (6.3) から (6.6) を

\*G. Weinklam; D.T.M.B. Report No. 758 (May 1951)

満足する  $\epsilon$  の抵抗は非常に小さいと考えられる。

(6.2) を直接数値的に解く方法に較べるとこの方法は任意の常数を食むので便利であろうと思われる。

此の様な解を矢張り節と同様 Quasi-Waveless solution と呼ぶ事にしよう。

$f \rightarrow 0$  とすると (6.4), (6.5) の解は節或いは前報で考えたものと同じであるから恒等的に零でない解を持つ事はなる。

従って節の問題を没水体の極限と考えるならば  $\epsilon$  をどの程度に理論的にも Quasi-Waveless solution を持つ事である。

さて此の様な款で没水体には極値問題が存在しないが然も抵抗はかなり小さくする本が出来るとすると、その最小値は零であると考えざるを得ない。

そこで実際それを充分小さくし得る本を示そう。

先ず前後対称なもののみ考える事にして

$$H(x) \equiv H(-\cos\theta) = \frac{\varphi(\theta)}{\sin\theta} = \sum_{n=0}^{\infty} a_{2n} \frac{\cos^{2n}\theta}{\sin\theta}, \quad \dots (6.7)$$

としよう。

$$R_5(x, t) = \sum_{n=0}^{\infty} \frac{(-)^n x^{2n}}{(2n)!} U_{n+2}(t), \quad \dots (6.8)$$

$$\text{但し } U_n(t) = \int_0^{\pi} e^{-t \sec^2 \theta} \sec^{2n+1} \theta d\theta,$$

と展開出来るから (6.2) は

$$\frac{1}{g^4} G(-\cos\theta) = \sum_{n=0}^{\infty} \sum_{m=0}^{\infty} a_{2n} \frac{(-)^m g^{2m} U_{m+2}(t)}{(2m)!} \frac{1}{\pi} \int_0^{\pi} \cos^{2n} \theta (\cos\theta - \cos\theta)^{2m} d\theta,$$

すなわち

$$\frac{1}{\pi} \int_0^{\pi} \cos^{2n} \theta (\cos\theta - \cos\theta)^{2m} d\theta = \sum_{r=0}^m \frac{(2m)! \cos^{2r} \theta}{2^{2m-2r} (2r)! (n+m-r)! (m-r-r)!},$$

であるから

$$\begin{aligned} \frac{1}{g^4} G(x) &= \sum_{n=0}^{\infty} \sum_{m=0}^{\infty} \sum_{r=0}^m \frac{(-)^m g^{2m} U_{m+2}(t) x^{2n} a_{2n}}{2^{2m-2r} (2r)! (n+m-r)! (m-r-r)!} \\ &= \sum_{r=0}^{\infty} \frac{(-)^r (g^2 x)^{2r}}{(2r)!} \sum_{n=0}^{\infty} (-)^n a_{2n} C_{2n, 2r}, \quad \dots (6.9) \end{aligned}$$

$$\text{但し } C_{2n, 2r} = \left(\frac{g}{2}\right)^{2n} \sum_{s=0}^{\infty} \frac{(-)^s g^{2s} U_{r+n+s+2}(t)}{2^{2s} s! (2n+s)!}, \quad \dots (6.10)$$

今必要なだけ大きい数  $N$  をとって

$$\sum_{n=0}^{\infty} (-1)^n a_{2n} C_{2n, 2r} = 0, \quad \text{for } r=0, \dots, (N-1) \text{ 迄} \quad (6.11)$$

とすれば  $G(x) = O\left\{\frac{(gx)^{2N}}{(2N)!}\right\}$  (6.12)

となるから (6.9) の級数が収斂するならば  $N$  のとり方によって  $G(x)$  を充分小さくする事が出来る筈である。

今排水量が与えられるとすれば (6.7) から

$$\nabla = \int_0^1 H(x) dx = \pi a_0 \quad (6.13)$$

であるから (6.11) と合わせて  $(N+1)$  本の方程式を得る。

従って今未知数  $a_n$  を  $M (\geq N+1)$  とすれば  $a_n$  は  $(M-N+1)$  本だけ不定な係数を残して一義的に定まる。

そしてこの様な  $a_n$  によって (6.12) が成立するから、 $N$  を充分大きくとって  $G(x)$  を幾らでも小さくする事が出来る、従って又 (6.1) から  $R$  をいくらでも小さくする事が出来る事になる。

此の操作は  $g/2f$  が小さければ 船体計算上も実例も簡単であると思われる。(10桁程度の容量で計算するとして  $g/2f < 4 \sim 5$  迄) 然し此値が大きくなると、即ち深さが小さいか、深さが浅い時には、級数の収斂が遅いので実行は不可能に近いと思う。

最後にもう一つの極限として中も長さも短い垂直線上の分布の問題が考えられるが、止むを得ずと略々同様の議論で極値問題の解が存在するかが、実用上の意味もどうなのか省略しよう。直観的に云えば「此の場合ほどかく排水量を水面下深くに持つて行けば行く程排水量ほどんどん小さくなる」と云う事であるか。

さて此の節の考察から推察すれば「前報で少し考えた有限吃水の垂直船体船の極値問題の解はそれを数値的に解いて行くに際して、かなりの不安定さを示す可解性が充分にあるであろうである。

従って予かじめ (6.3), (6.4) を導いた様な操作をとっておく方がよいかも未知である。

### 7. Influence function

極値問題においてはおか/報以来、 $G$ と記して乗石函数が重要な役割を演じているのを見て来た。

これを我々は次の様な意味で Influence function と呼ぼう。

さておか/報(2.4)にかえて、今ある点  $(x, z)$  に僅かな変化あつて排水量が  $\Delta T$ だけ増えたとしよう。

$$\frac{R}{Pq} = \int_{-1}^0 \int_{-1}^1 H(x, z) G(x, z) dx dz, \quad (7.1)$$

$$G(x, z) = \frac{g^3}{\pi} \int_{-1}^0 \int_{-1}^1 H(\xi, \zeta) P_{-5}(g\sqrt{x-\xi}, -g\sqrt{z+\zeta}) d\xi d\zeta, \quad (7.2)$$

よか/報から2次の項を無視すると

$$\frac{\delta R}{Pq \delta T} = 2 G(x, z), \quad (7.3)$$

此の Influence function  $G$  はおか/報(2.7)から

$$\left(\frac{\partial^2}{\partial x^2} + g \frac{\partial^2}{\partial z^2}\right) G(x, z) = 0, \quad (7.4)$$

の様な微分方程式を満足するから  $G(x, 0)$  が与えられれば

$$G(x, z) = \frac{\sqrt{g}}{2\sqrt{\pi|z|}} \int_{-\infty}^{\infty} G(\xi, 0) e^{-\frac{g(x-\xi)^2}{4z}} d\xi, \quad (z < 0) \quad (7.5)$$

の様な表現が出る。

即ち  $G(x, z)$  の  $z$  方向への変化の様子は熱伝導率  $\kappa$  の物体の中を伝わる温度分布の様子に等しい事からその大体の様相を直観的に想像する事が出来る。

先ず始めに垂直舷側無限吃水の場合には

$$\begin{aligned} G(x, 0) &= -\frac{g^2}{\pi} \int_{-1}^1 H(\xi) P_3(g\sqrt{x-\xi}, 0) d\xi \\ &= -\frac{1}{\pi} \left(\frac{d}{dx}\right)^2 \int_{-1}^1 H(\xi) P_1(g\sqrt{x-\xi}, 0) d\xi \\ &= -\frac{1}{8g^2} \left(\frac{d}{dx}\right)^2 P(gx), \end{aligned} \quad (7.6)$$

但し  $P(gx)$  は 報(2.5) によるものである。

さて  $G(x, z)$  を求めるには  $G(x, 0)$  をその全域について知る

なければならぬが  $|x| > 1$  では表示式も面倒であり、且つ  $x=1$  の所でどの様な不連続性を持つかを計算して見ているので、此處では、とにかく  $|x| \leq 1$  の内の値のみ注目しておく。

さて、経路 A 問題では (3.6) から

$$\left. \begin{aligned} \Gamma(\beta x) &= \frac{1}{2} C_{W_0} = \text{const.} \\ \text{故に } G(x, 0) &= 0 \quad \text{for } |x| \leq 1 \end{aligned} \right\} \dots (7.7)$$

B) 問題でも同じく (3.13) から

$$\left. \begin{aligned} \Gamma(\beta x) &= \frac{1}{2} C_{W_0} - 2\alpha C_{W_1} x, \\ \text{故に } G(x, 0) &= 0 \quad \text{for } |x| \leq 1 \end{aligned} \right\} \dots (7.8)$$

C) 問題では (3.26) から

$$\left. \begin{aligned} \Gamma(\beta x) &= \frac{1}{2} C_{W_0} \left( 1 - \beta \frac{C_{\alpha x}}{C_{\beta E}} \right) + \gamma C_{W_0} (2x^2 - 1), \\ \therefore G(x, 0) &= -\frac{\beta}{2\gamma} C_{W_2} \end{aligned} \right\} \dots (7.9)$$

の様に存する。

一方、この節の場合には

$$\begin{aligned} G(x, 0) &= \frac{\beta^3}{\pi} \int_0^1 H(\beta) P_{\beta}(\beta x - \beta) d\beta = \frac{1}{\pi \beta} \left( \frac{d}{dx} \right)' \int_0^1 H(\beta) P_{\beta}(\beta x - \beta) d\beta \\ &= \frac{1}{\beta} \left( \frac{d}{dx} \right)' G^{(2)}(x), \end{aligned} \dots (7.10)$$

但し (2.15) の  $G^{(2)}(x)$  の定義による。

此の A 問題の解の場合には (3.15) により

$$\left. \begin{aligned} G^{(2)}(x) &= \frac{\alpha_0}{2} + \alpha_2 (2x^2 - 1), \\ \therefore G(x, 0) &= \frac{4}{\beta} \alpha_2 = \frac{2}{\beta^3} \nabla C_{W_2} \end{aligned} \right\} \dots (7.11)$$

此の他の場合は一切適用できず、前節の考察と考えると (7.7) 式の  $G(x)=0$   $|x| < 1$  は最もと尙かゆる事である。

又 (7.9) は一見逆説的に見える。即ち A 問題の解が  $C_b$  が大きい解にあつては  $\beta > 0$  であるから、(7.9) からとにかくに、排水量を附け加へると、抵抗が減る可能性があるのである。此れは反して (7.11) は全く常識的であつて此の場合



は排水量を減らす以外に抵抗を減らす方法は無い。

我々は従来此の報告で考えた様な先の尖った船を主として考えて来たので(7.11)の様な常識を持っているのでは無いかと考えられる。

従って前報で考えた様な先の丸い型の船をばっきりと区別して考えた例は無いので(7.9)の様な式の意味を具体的に掘る事は今の所出来無い訳である。

### 8. 結言

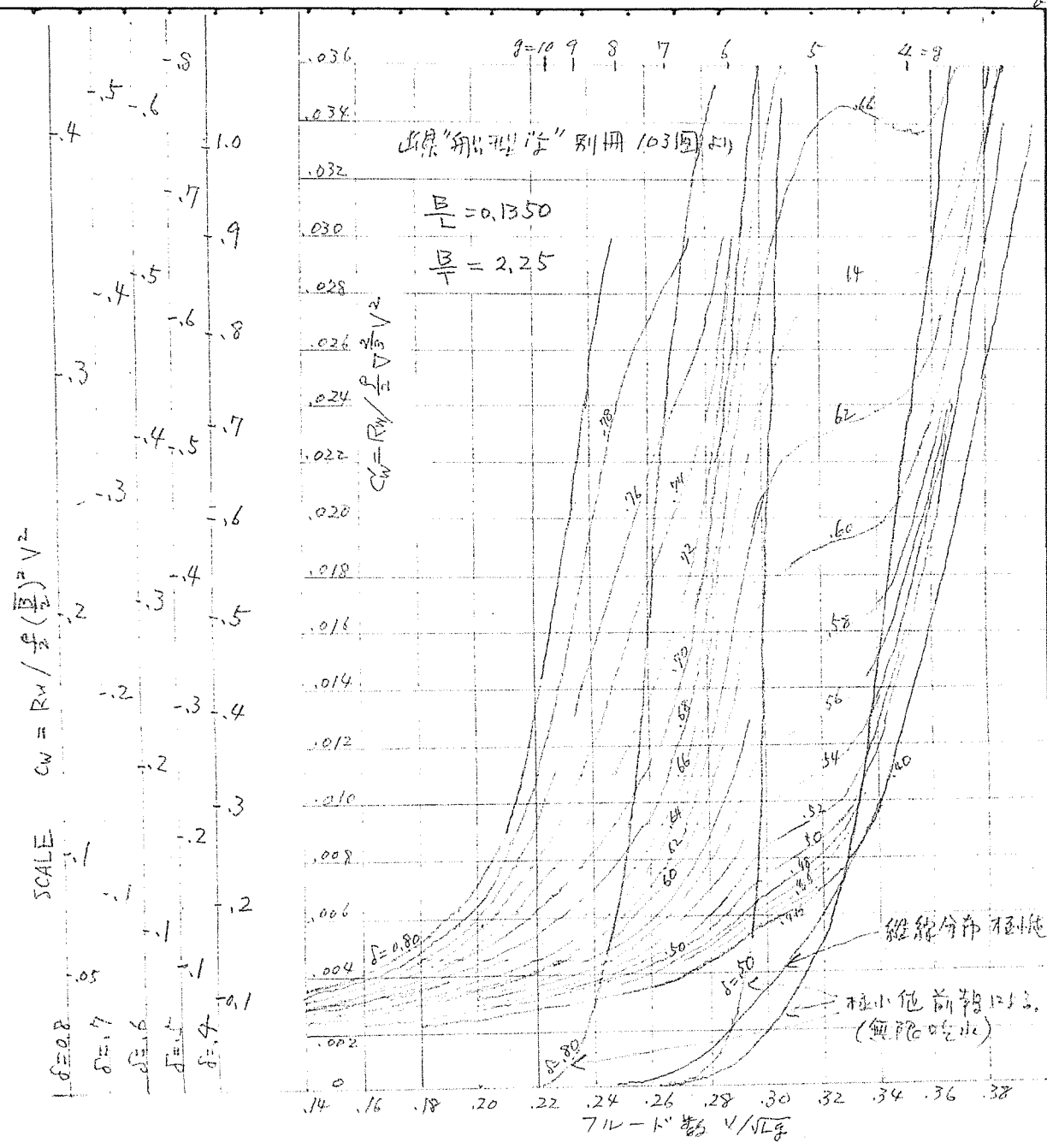
さて以上の新論によって、極値問題に関する理論的な事として又数値計算上の問題点の幾つかが、かなりはっきりして来た様に思われる。

特にG路の浸水体に関する考察に因縁して、導入した Quasi-Waveless solution と云う考え方は乾船型の Waveless ship と云う考え方を實際上支持するものとして注目し得よう。

此の様な解の簡潔な求め方として前報に完全で紹介した極小船型群(これはむしろ Quasi-Waveless Group と云う方が適当であろう)は便利で然も実用的では無いかと考えられる。

最後に附録として山梨「船型学」所載の剰余抵抗値図の中に前報及び此の報告によって得られた抵抗値を適当に換算してプロットしてみた。換算の仕方によってはかなり値を量にずすが、とにかく低速では此等の方法による解は平行線を有する所もあり、ひどく低い値を与える。尚普通造波抵抗の計算値は低速では実験値の略々4倍程度に在るものであるから低速における此等の値が如何に小さいものであるかが理解出来よう。

以上



但  $C_w' = A C_w$ ,  $A = \left(\frac{B}{L}\right)^2 / \nabla^{3/2}$ ,  $B = \frac{\nabla}{L^3} = B C_b$   
 $A = \frac{1}{4} \left(\frac{B^2}{L^2}\right)^{3/4} C_b^{1/4} = 0.1130 C_b^{1/4}$

$\delta = C_b$	.4	.5	.6	.7	.8
A	.0333	.0449	.0571	.0702	.0838

岩田 達二 "高速船の性能取扱いに関する研究" 51

Mod. No 57

$C_b$	$C_w$	$\frac{\nabla}{(L/10)^3}$	$\frac{d}{L}$
.511	.824	1.854	.0348

$$C'_w = R_w / \frac{\rho}{2} V^2 \nabla^{2/3}, \quad C_w = R_w / \frac{\rho}{2} V^2 \left(\frac{B}{2}\right)^2 = 21.2 C'_w$$

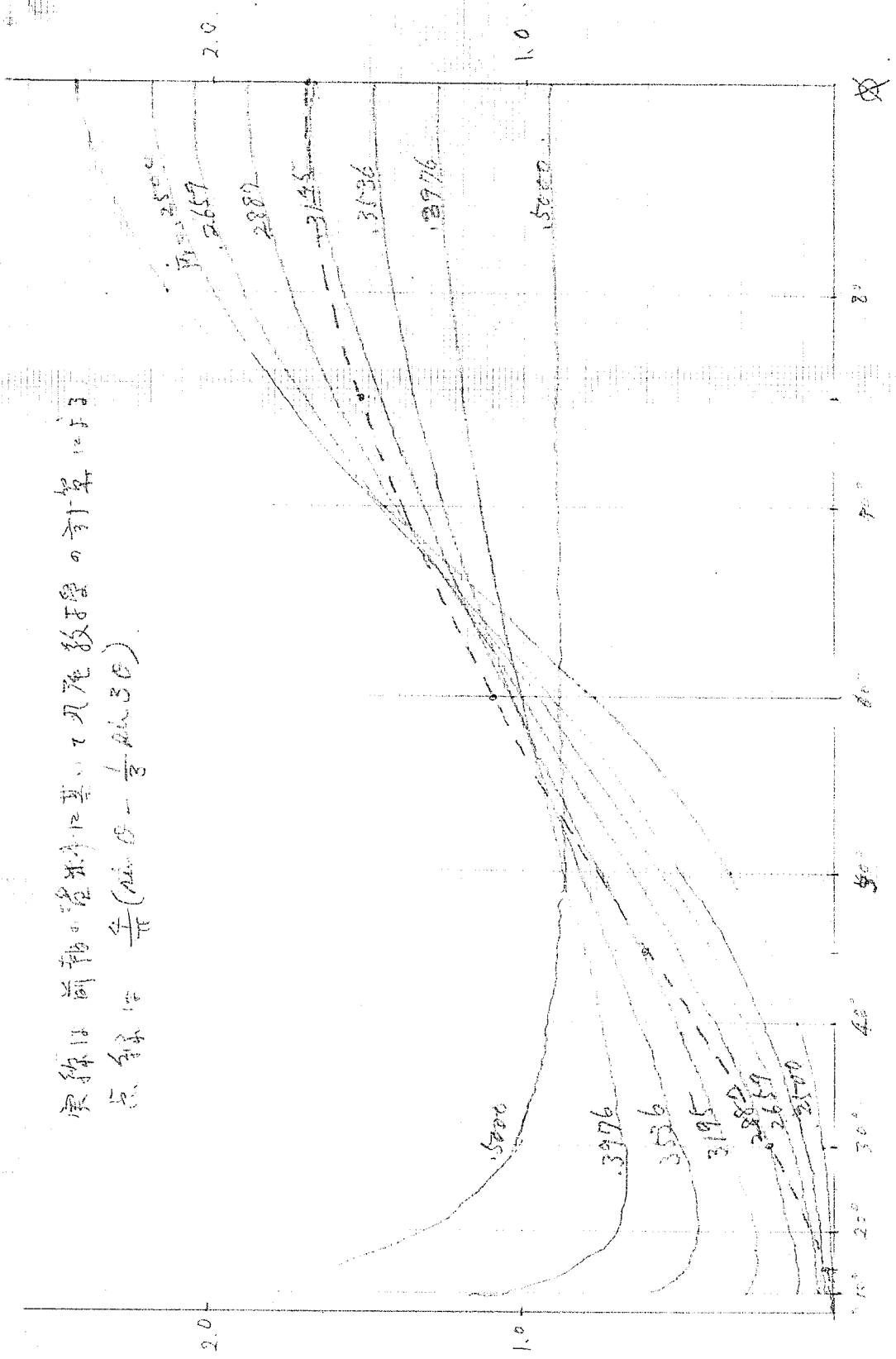
但し  $B = \nabla / Ld$

$\tau = R_w / \rho g \nabla \left(\frac{\nabla}{B^3}\right)$

$\sigma$	$M_{21}$	No.57 $C'_w$	(Taylor) $C'_w$	No.57 $\tau$	(Taylor) $\tau$	Min. $\tau$	No.57 $C_w$	Taylor $C_w$	Min. $C_w$
2	.500	.0248	.0275	13.6	14.3	25.5	.525	.582	.492
4	.354	.0090	.0102	2.46	2.88	5.09	.190	.216	.195
6	.289	.0080	.0070	1.46	1.28	.335	.169	.148	.020
8	.250	.0035	.0030	.48	.41	.015	.074	.064	.001
10	.214	.0040	.0020	.44	.22	.001	.085	.042	.000

他に Min.  $\tau$ , Min.  $C_w$  とあるは 4. 報 3 節 A 問題の解に依るとなつた。  
 此のは一定の船型ではある(速度に依りて取捨最小となる船型)  
 であるから上記他は單に参照程度のみと解釋される。  
 尚  $C_b$  は大抵似通つた他となつてゐる。

実線は前報の管束計算に基いて丸尾教授の計算による  
点線は 算 (値は 1/2 以下)



Handwritten scribbles or marks at the top of the page.